

فصل اول:

مقدمه – مفهوم

تنش

Chapter 1:

Introduction- Concept of Stress

Contents

فہرست مطالب

- Review of the methods of statics _____ + دوری پر روشنی کی اسٹاتک
- stresses in the members of a structure _____ + تنش (رعضی) کے ساتھ
- stress on an oblique plane under Axial loading _____ + تنش در یک صغہ در یک سمت بارگذاری محوری
- stress under general loading conditions: components of stress _____ + تنش تحت شرایط بارگذاری کلی: مولتیگی تنش
- Design consideration _____ + ملاحظیات طراح

+ Introduction

مقاومت مصالح علمی است که به ما می گوید آیا سازه یا ماشین با چنین مسؤلیت می تواند تحت بارگذاری داشته باشد؟
مقاومت نماید!

برای پاسخ به این سوال، از دو مفهوم تنش و تغییر شکل یا کرنش استفاده می شود.
در این فصل مفهوم تنش (stress) بیان می گردد.

1.1) Review of the methods of statics

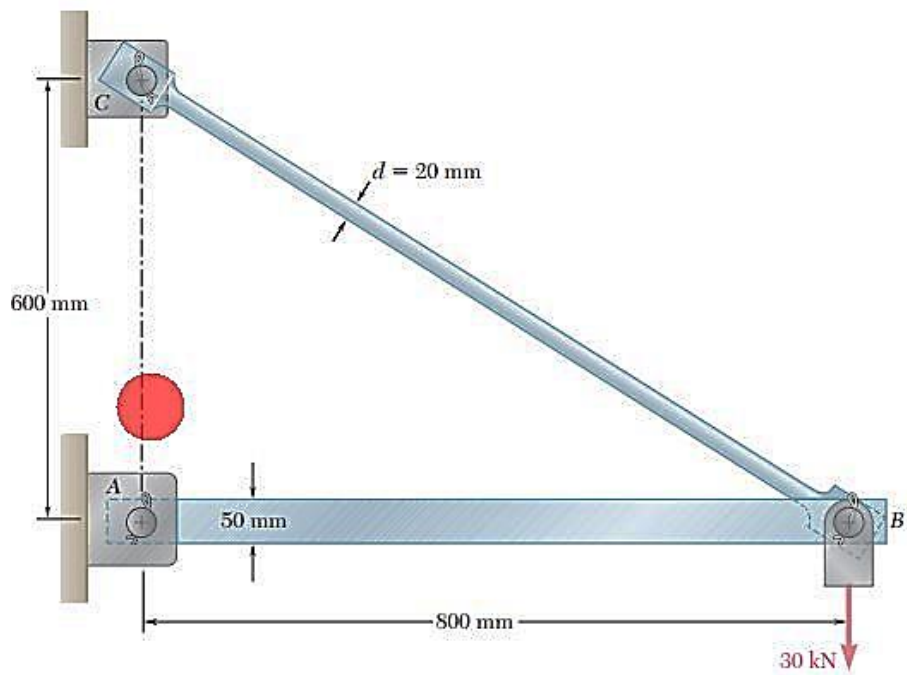
+ (1.1) بررسی روش های استاتیک

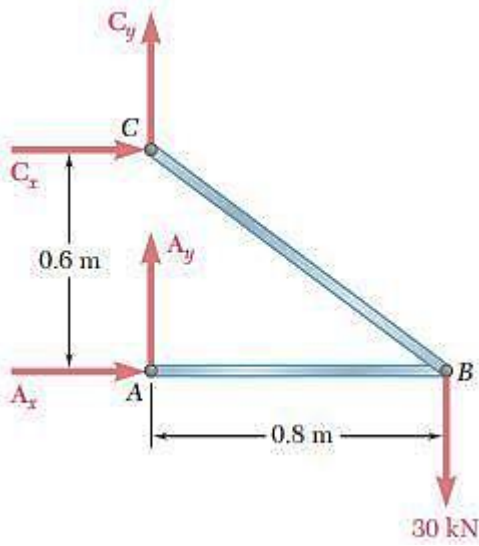
قبل از بررسی مفهوم تنش، ابتدا توسط مثال، دوری بر مسائل استاتیک انجام می گردد.
اهداف مثال زیر عبارت است از:

- (1) استفاده از روش های عمومی بدست آوردن نیرو در محل اتصال؟ (توان این تعادل)
- (2) استفاده از توان این حاکم بر عضو؟ می دو نیرو می
- (3) نمایش نیرو در یک گره؟
- (4) تعیین نیرو در درون

- مثال: سازه دبر در در نظر بگیرید (شکل 1)

به سازه فوق، نیروی 30 kN اعمال می شود. نیرو در هر یک از عضو های سازه را تعیین نماید.





1) ابتدا دیاگرام آزاد کنی را رسم می‌کنیم

در شکل فوق، چهار مجهول A_x ، A_y ، C_x و C_y وجود دارد. با استفاده از روابط تعادل داریم:

$$+\left(\sum M_C = 0 \Rightarrow 0.6 \times A_x - 0.8 \times 30 = 0 \Rightarrow A_x = 40 \text{ kN} \quad \text{I}\right)$$

$$+\rightarrow \sum F_x = 0 \Rightarrow A_x + C_x = 0 \Rightarrow C_x = -A_x = -40 \text{ kN} \quad \text{II}$$

$$+\uparrow \sum F_y = 0 \Rightarrow A_y + C_y - 30 = 0 \Rightarrow A_y + C_y = 30 \text{ kN} \quad \text{III}$$

با استفاده از روابط I، II، III نقطه‌ها در مجهول از چهار مجهول را تعیین نمود و اگر از هر رابطه تعادل دیگر نیز استفاده شود، نتیجه خاصی حاصل نمی‌شود. بر این رنج این مشکل، باید دیاگرام آزاد کنی را رسم نمود.

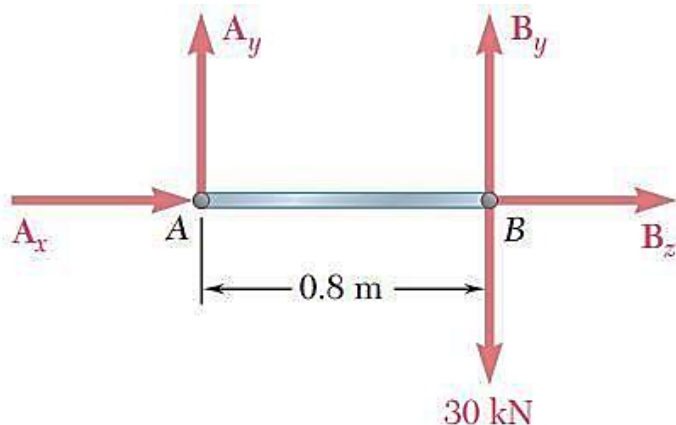
2) دیاگرام آزاد کنی از عضو (در صورت نیاز، هر دو عضو) را رسم می‌کنیم (شکل 3)

با نوشتن رابطه تعادل گشتادگی در نقطه B داریم:

$$+\left(\sum M_B = 0 \Rightarrow -0.8 \times A_y = 0 \Rightarrow A_y = 0 \quad \text{IV}\right)$$

که با جایگزینی رابطه IV در رابطه III خواهیم داشت:

$$\Rightarrow C_y = 30 \text{ kN} \quad \text{V}$$



3) تحلیل نیرو در عضو

$$\begin{cases} A_x = 40 \text{ kN} \rightarrow \\ A_y = 0 \end{cases}$$

بر اساس آنچه که از محاسبات قبل جهت آمده است در سطح AB، عکس العمل در نقطه A عبارت است از

که نشان دهنده این است که نیرو باید در عضو AB، نیروی فشاری و در راستای عضو AB باشد.

$$\begin{cases} +\uparrow \sum F_y = 0 \Rightarrow B_y - 30 = 0 \Rightarrow B_y = 30 \text{ kN} \\ +\rightarrow \sum F_x = 0 \Rightarrow A_x + B_x = 0 \Rightarrow B_x = -A_x = -40 \text{ kN} \end{cases}$$

در نقطه B از عضو AB، نیروی 30 kN با نیروی B_y حسی می شود و نقطه نیروی $B_x = -40 \text{ kN}$ باقی می ماند.

$$\begin{cases} C_x = -A_x = -40 \text{ kN} \\ C_y = 30 \text{ kN} \end{cases}$$

در سطح BC، عکس العمل در نقطه C عبارت است از

$$\theta = \tan^{-1}\left(\frac{C_y}{C_x}\right) = \tan^{-1}\left(\frac{30}{40}\right) \quad \alpha = \tan^{-1}\left(\frac{AC}{AB}\right) = \tan^{-1}\left(\frac{600}{800}\right) = \tan^{-1}\left(\frac{3}{4}\right)$$

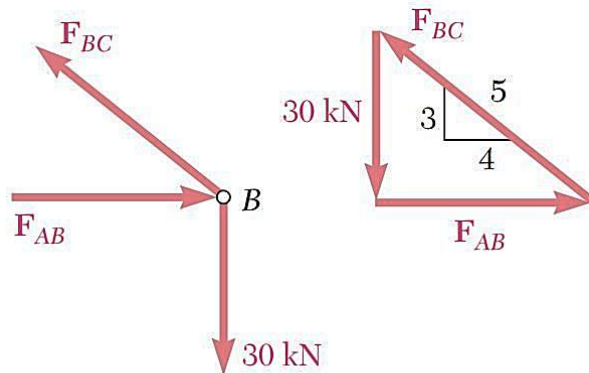
با توجه به برابر زوایای α و θ نتیجه می گیریم که نیرو در نقطه C، دقیقاً در راستای سطح BC می باشد.

نمود مناسب نیرو در عضوهای AB و BC می توانست به روش دیگری نیز انجام گیرد.

با توجه به اینکه عضوهای AB و BC هر دو، عضو دو نیرویی می باشند بنابراین انتظار داریم نیرو در راستای سطح باشد که در صورت داریم.

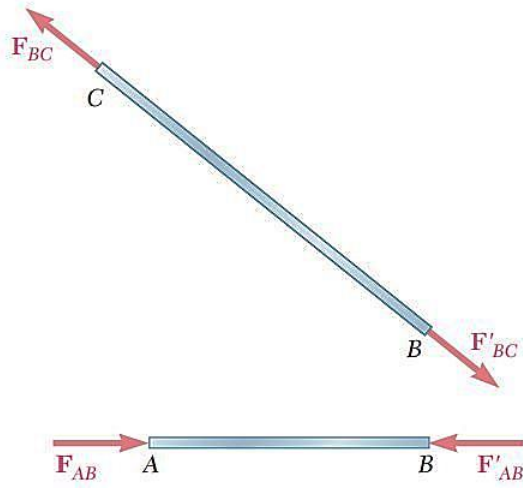
$$\frac{F_{AB}}{4} = \frac{F_{BC}}{5} = \frac{30}{3}$$

$$\Rightarrow \begin{cases} F_{AB} = 40 \text{ kN} \\ F_{BC} = 50 \text{ kN} \end{cases}$$

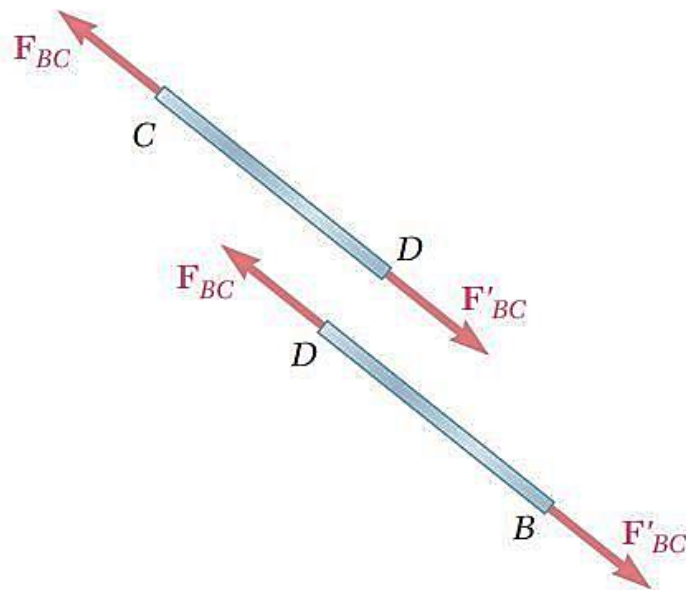


(a)

(b)



با تعیین نیروی در انتهای سله، میزان نیروی داخلی در آنها را با زدن مقطع تعیین نمود. به عنوان مثال، با زدن مقطع در نقطه دلخواه D از سله BC، نسبتی که گوییم برابر است با هر دو قسمت سله (BD و CD) در تعادل باشند باید نیروی داخلی در نقطه D برابر 50 KN باشد. به بیان دیگر، با اعمال نیروی 30 KN در نقطه B، در سله BC نیروی داخلی 50 KN ایجاد می‌شود.



1.2 - انواع تنش در اعضای یک سازه stresses in the members of a structure

در این فصل، از بین حالت‌های مختلف برای تنش، چند نوع خاص تنش، بررسی می‌گردد که عبارتند از:

(1) تنش محوری

(2) تنش برشی

(3) تنش کشیدگی یا تنگه گاهی در اتصالات

حالت‌های ذکر شده به ترتیب در ادامه بررسی خواهند شد.

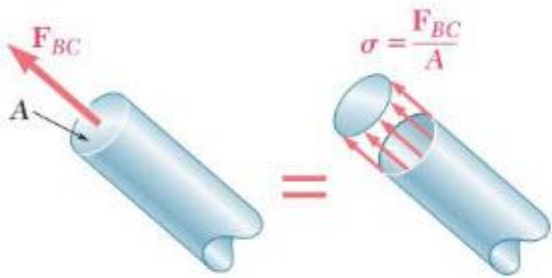
1.2A تنش محوری Axial stress

در قسمت قبل، نیرو در حرکت از اعضای سازه تعیین شد. اما این سوال هم چنان باقی است که آیا اعضای نوعی قابلیت تحمل این نیرو را دارند یا خیر؟

برای پاسخ به این سوال، نیاز به تعریف کسیت جدیدی بنام تنش (stress) می‌باشد که بصورت زیر تعریف می‌شود:

$$\sigma = \frac{P}{A} \quad (\text{N/m}^2) \quad \textcircled{I}$$

← sigma



رابطه \textcircled{I} نشان می‌دهد که اندازه تنش در یک عضو، بستگی به مقدار نیرو در آن عضو و اندازه سطح مقطع دارد.

حال سوال دیگری مطرح می‌باشد و آنستکه مقدار تنش در عضو با چه معیاری مقایسه می‌شود که بتوان از روی آن نتیجه گرفت که آیا سازه تحمل بارگذاری دارد، را دارد یا خیر؟

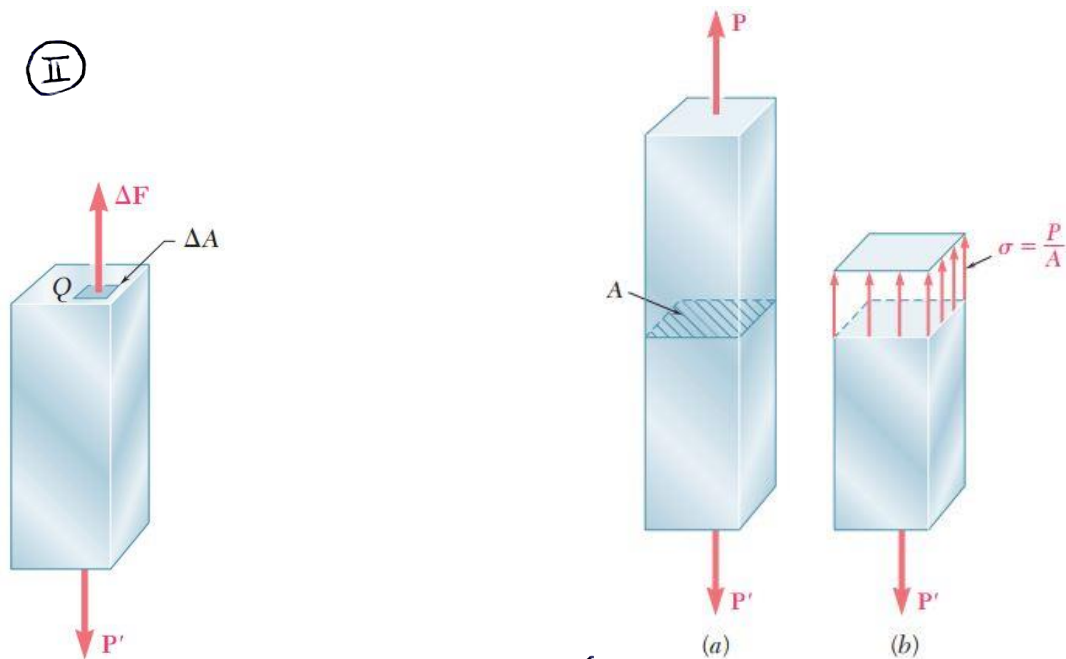
به این سوال باید انگیزه پاسخ داد که برای هر جنسی یک معیار مشخصی برای تنش وجود دارد که اگر تنش ناشی از بارگذاری خارجی از این معیار تنش عبور باشد می‌توان نتیجه گرفت که سازه تحمل بارگذاری داده را ندارد!

اگر نیروی وارد بر عضو بصورت منبسطی باشد آن گاه علامت تنش مثبت می‌باشد و با آن تنش کششی می‌گویند و اگر نیروی وارد بر عضو بصورت منبسطی باشد آن گاه علامت تنش منفی می‌باشد و با آن تنش فشاری می‌گویند.

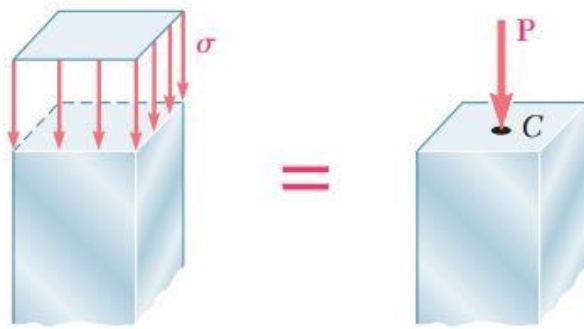
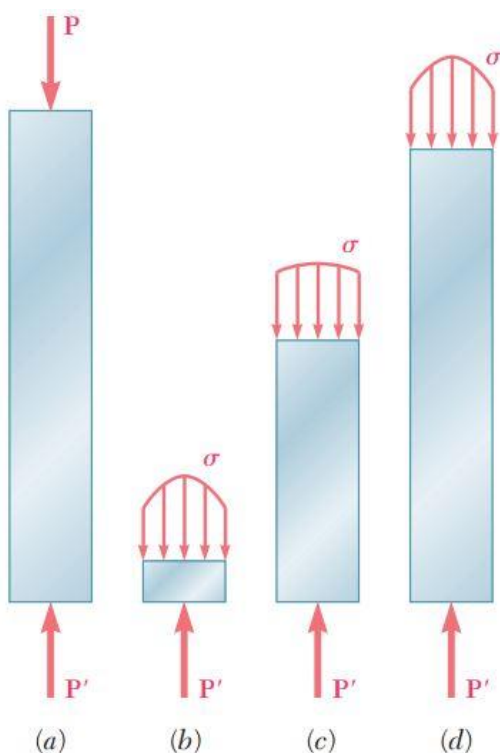
اگر نیروی وارد بر عضو، عمود بر سطح مقطع عضو یا مواز است محور عضو باشد به تنش ایجاد شده در عضو، تنش نرمال نامش از نیروی محوری گفته می شود.

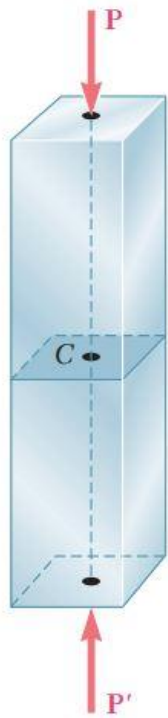
باید دقت شود که $\bar{\sigma}$ مقدار متوسط تنش در یک سطح مقطع می باشد نه تنش در یک نقطه مشخص از سطح مقطع. به بیان دیگر، مقدار تنش متوسط متفاوت از تنش نقطه ای است. تنش نقطه ای بصورت رابطه (II) تعریف می شود:

$$\bar{\sigma} = \lim_{\Delta A \rightarrow 0} \frac{\Delta F}{\Delta A} \quad (II)$$



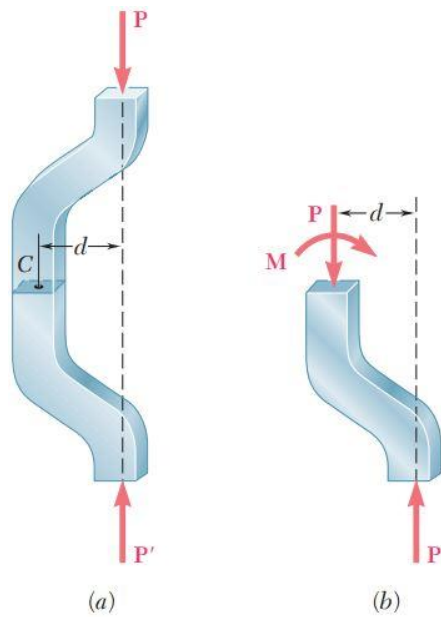
یک نکته ای که باید بدان توجه کرد این است که تنش نه تنها در مقاطع مختلف از طول عضو متفاوت است بلکه در یک مقطع مشخص نیز، تنش در سطح مقطع یکدخت نیست! در عمل فرض می شود که توزیع تنش در نرمال در یک عضوی که تحت بارگذاری محوری است یکنواخت نزدیک به محل اعمال بار، یکدخت است. در این حالت، مقدار تنش برابر با $\bar{\sigma}_{ave}$ می باشد.





نکته دیگری که باید به آن اشاره کرد این است که توزیع تنش در تمام طول در حالی امکان پذیر است که خط اثر دو نیروی P و P' دقیقاً بر محور مرکزی عضو منطبق باشند.

به این نوع بارگذاری، بارگذاری مرکزی می‌گویند و این نوع بارگذاری در تمام عضوهای دو نیرویی مستقیم، اتصالی مانند آبر بار محوری بصورت خارج از مرکز وارد شود آن گاه نمی‌توان انتظار داشت که توزیع تنش یکدست باشد.



$$1 \frac{N}{m^2} = 1 Pa \rightarrow \begin{cases} \text{Pascal} \\ \text{پاسکال} \end{cases}$$

در دستگاه نسیات SI، واحد تنش بصورت زیر تعریف می‌شود:

$$\begin{cases} 1 kPa = 10^3 Pa = 10^3 \frac{N}{m^2} \\ 1 MPa = 10^6 Pa = 10^6 \frac{N}{m^2} \\ 1 GPa = 10^9 Pa = 10^9 \frac{N}{m^2} \end{cases}$$

در دستگاه نسیات S.I.، برابر واحد تنش داریم:

$$P \text{ نیرو} \rightarrow \begin{cases} \text{pounds (lb)} \\ \text{kilopounds (kip)} \end{cases}$$

$$\Rightarrow \sigma = \frac{P}{A} \left(\frac{\text{pounds}}{\text{in}^2} = \text{psi} \right) \text{ or}$$

$$A \text{ سطح مقطع} \rightarrow \text{in}^2$$

$$\left(\frac{\text{kilopounds}}{\text{in}^2} = \text{kpsi} \right)$$

Concept Application 1.1

Considering the structure of Fig. 1.1 on page 5, assume that rod BC is made of a steel with a maximum allowable stress $\sigma_{\text{all}} = 165 \text{ MPa}$. Can rod BC safely support the load to which it will be subjected? The magnitude of the force F_{BC} in the rod was 50 kN. Recalling that the diameter of the rod is 20 mm, use Eq. (1.5) to determine the stress created in the rod by the given loading.

$$P = F_{BC} = +50 \text{ kN} = +50 \times 10^3 \text{ N}$$

$$A = \pi r^2 = \pi \left(\frac{20 \text{ mm}}{2} \right)^2 = \pi (10 \times 10^{-3} \text{ m})^2 = 314 \times 10^{-6} \text{ m}^2$$

$$\sigma = \frac{P}{A} = \frac{+50 \times 10^3 \text{ N}}{314 \times 10^{-6} \text{ m}^2} = +159 \times 10^6 \text{ Pa} = +159 \text{ MPa}$$

Since σ is smaller than σ_{all} of the allowable stress in the steel used, rod BC can safely support the load.

برای اینکه بتوان تحلیل کاملی از توانایی سازه در محل کردن یک بارگذاری داشت باید نقش در تمامی اعضای
تشکیل دهنده یک سازه را بررسی نمود مانند سیم، یا تسمه، یا عضو و... علاوه بر این از آنجا که بدلیل
بارگذاری، اعضای دچار تغییر شکل می شوند باید بررسی نمود که آیا میزان تغییر شکل ایجاد شده، قابل قبول
می باشد یا خیر. (مبحث تغییر شکل در فصل دوم بررسی خواهد شد)

برای عضو کسی که تحت نیروی فشاری می باشند باید پایداری عضو نیز بررسی گردد. پایداری یعنی توانایی جسم در
محل بار بردن (اینکه تغییر شکل ناگهانی در آن ایجاد نشود) (این مبحث، در فصل دهم بررسی خواهد شد)
در استوای این فصل بحث لازم است اشاره شود که سازه و ضلع، مهندس، تحلیل سازه و ماسین می موجود است
بلکه رطبه حجم حرکت مهندس، طراحی سازه و ماسین جدید است که برای آنها باید مولفه های مناسب برای
انجام یک هدف مشخص، انتخاب شود.

Concept Application 1.2

As an example of design, let us return to the structure of Fig. 1.1 on page 5 and assume that aluminum with an allowable stress $\sigma_{\text{all}} = 100 \text{ MPa}$ is to be used. Since the force in rod BC is still $P = F_{BC} = 50 \text{ kN}$ under the given loading, from Eq. (1.5), we have

$$\sigma_{\text{all}} = \frac{P}{A} \quad A = \frac{P}{\sigma_{\text{all}}} = \frac{50 \times 10^3 \text{ N}}{100 \times 10^6 \text{ Pa}} = 500 \times 10^{-6} \text{ m}^2$$

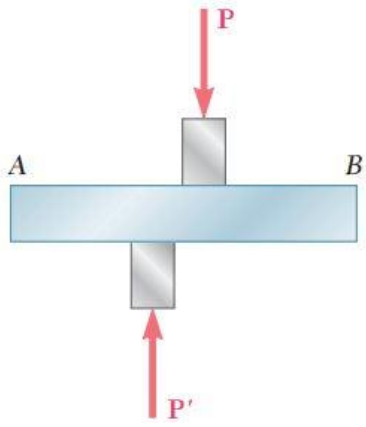
and since $A = \pi r^2$,

$$r = \sqrt{\frac{A}{\pi}} = \sqrt{\frac{500 \times 10^{-6} \text{ m}^2}{\pi}} = 12.62 \times 10^{-3} \text{ m} = 12.62 \text{ mm}$$

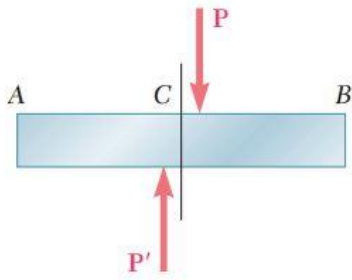
$$d = 2r = 25.2 \text{ mm}$$

Therefore, an aluminum rod 26 mm or more in diameter will be adequate.

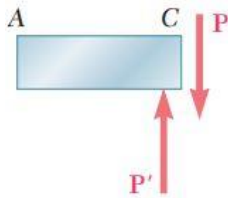
1.2B) تنش برشی Shearing stress



در بخش قبل، تنش در عضوهای برشی کردیم که نیرو بر سطح مقطع عضو عمود بوده است. اما نوع دیگری از تنش وجود دارد که با اعمال نیروی P و P' بر عضو AB ایجاد می‌گردد. (شکل)



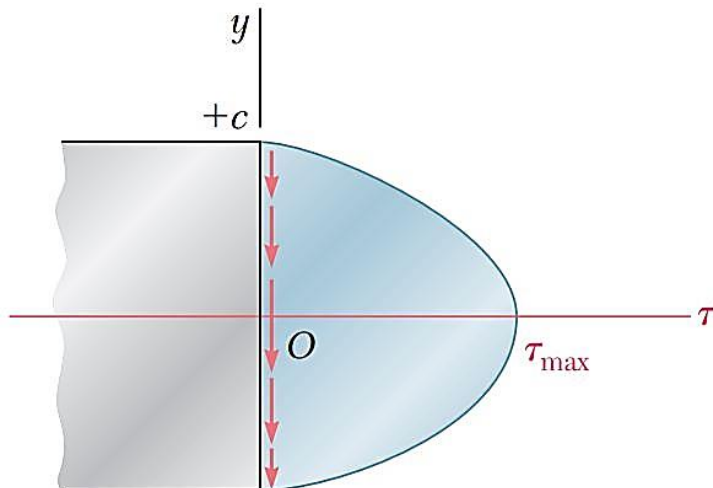
اگر در شکل از موقعیت C مقطعی زده شود و نیروی در آن رسم شوند شکل به صورت زیر می‌آید.

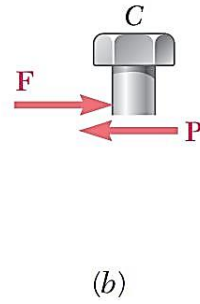
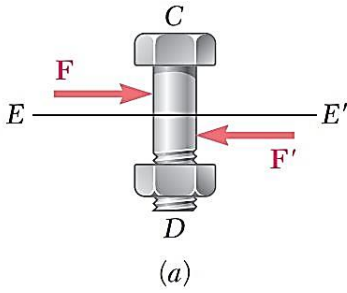
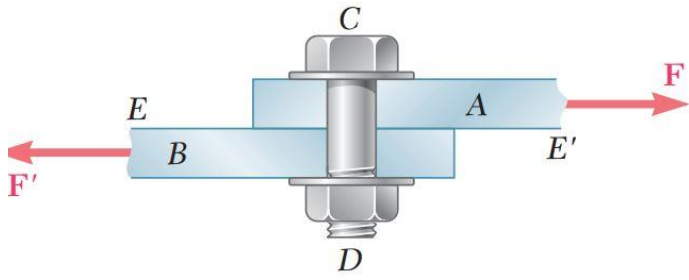


در شکل نیروی P بر سطح مقطع جسم تعادل است که به آن نیروی برشی می‌گویند. اگر نیروی P بر سطح مقطع A تقسیم شود تنش برشی میانگین به دست می‌آید که بصورت زیر بیان می‌شود:

$$\tau_{ave} = \frac{P}{A} \quad \left(\frac{N}{m^2} = Pa \right)$$

نکته: برخلاف آنچه که برای محاسبه توزیع تنش در تیرها ذکر شد توزیع تنش برشی در یک سطح مقطع دایره‌ای (کنواخت فرض کرد). این نوع تنش برشی (تنش برشی عرضی) دارای مقدار صفر در سطح عضو بوده و دارای یک مقدار ماکزیمم که ممکن است خیلی بیشتر از مقدار میانگین τ_{ave} باشد در جایی در وسط سطح مقطع دارد.





تنش برش عرض معمولاً در پیچ (bolts) .

بین (pins) و پیچ (rivets) ظاهر می شود.

مطابق شکل فرض کنید دو صفحه A و B توسط پیچ C D نگه داشته شده اند. اگر به صفحات نیروی

F و F' اعمال شود در مقطع EE' از پیچ تنش

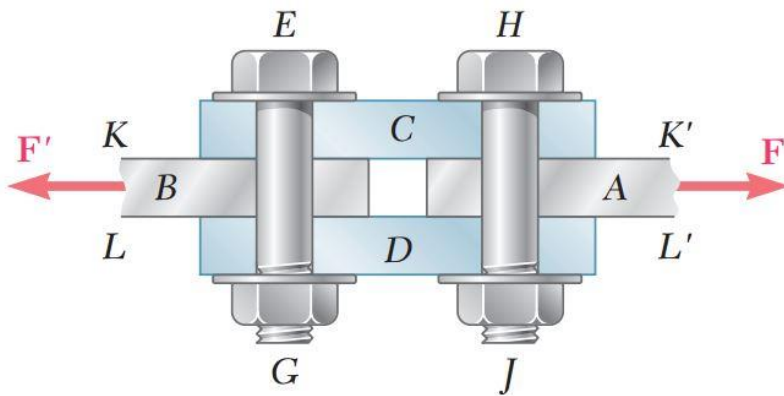
ایجاد خواهد شد. با رسم دیاگرام کل پیچ در آن بخش

که بالای مقطع EE' واقع است نیروی برش P در مقطع برابر نیروی F به سمت راست است. اکنون تنش برش

عرض در مقطع EE' عبارت است از:

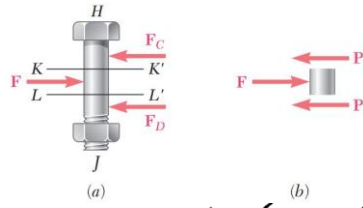
$$\tau_{ave} = \frac{P}{A} = \frac{F}{A}$$

حالتی که برابر پیچ بر سر شده به پیچ تحت برش تک (single shear) مستقر است. حالتی دیگر نیز مانند شکل زیر امکان پذیر است.



در این حالت، برش در دو مقطع KK' و LL' اتفاق می افتد. بار همگام آزادگی پیچ در دو مقطع KK' و LL' تنش در هر مقطع عبارت است از:

$$\begin{cases} P = F/2 \\ \tau_{ave} = \frac{P}{A} = \frac{F/2}{A} = \frac{F}{2A} \end{cases}$$



1.2c) تنش کششی یا گسیلی گاهی در اتصالات

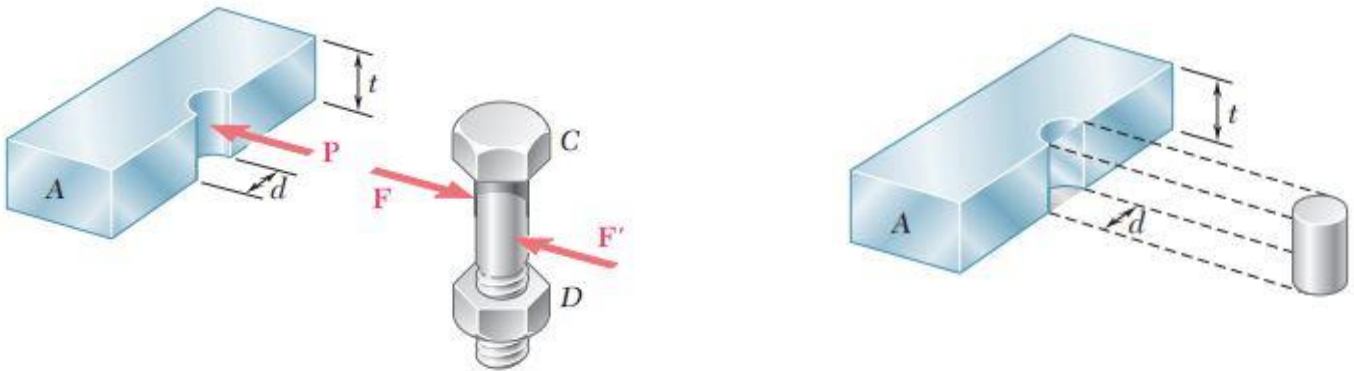
Bearing stress in connections

پیچ، بین ویرنج، یا عضو دیگری که در تماس هستند تنش کششی یا گسیلی گاهی در سطح تماس ایجاد می کنند. به عنوان مثال

شکل را ملاحظه کنید. صفحه A نیروی P که هم اندازه و خلاف جهت نیروی F هست را وارد می کند. صفحه A نیز، نیروی F را به پیچ وارد می کند (شکل). نیروی P نشان دهنده برآیند نیروی F است. اولین این است که در سطح درون نیم استوانه به قطر d و طول t (برابر با عمق صفحه) توزیع شده است. از آنجا که توزیع

این نیرو در بدنه آن نحوه توزیع تنش، نسبتاً یکنواخت در عمل است. مقدار میانگین اسمی σ_b برای تنش در نظر می گیرند که به آن تنش کششی یا گسیلی گاهی می گویند. نکته قابل توجه این است که مقدار σ_b از تقسیم نیروی P بر سطح مستطیلی معادلی است که هر یک نشان دهنده تصویر سطح پیچ روی صفحه می باشد و عبارت است از $A = t d$. بنابراین داریم:

$$\sigma_b = \frac{P}{A} = \frac{P}{td}$$



Concept Application 1.3

Returning to the structure of Fig. 1.1, we will determine the normal stresses, shearing stresses and bearing stresses. As shown in Fig. 1.22, the 20-mm-diameter rod BC has flat ends of 20×40 -mm rectangular cross section, while boom AB has a 30×50 -mm rectangular cross section and is fitted with a clevis at end B . Both members are connected at B by a pin from which the 30-kN load is suspended by means of a U-shaped bracket. Boom AB is supported at A by a pin fitted into a double bracket, while rod BC is connected at C to a single bracket. All pins are 25 mm in diameter.

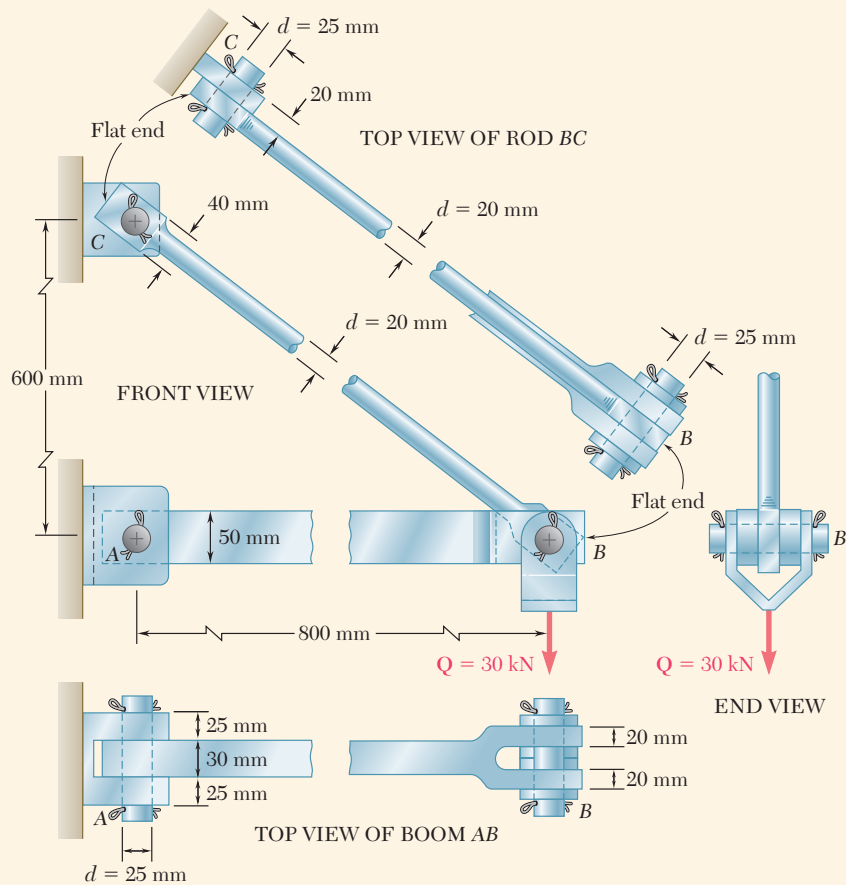


Fig. 1.22 Components of boom used to support 30 kN load.

Normal Stress in Boom AB and Rod BC . As found in Sec. 1.1A, the force in rod BC is $F_{BC} = 50$ kN (tension) and the area of its circular cross section is $A = 314 \times 10^{-6} \text{ m}^2$. The corresponding average normal stress is $\sigma_{BC} = +159$ MPa. However, the flat parts of the rod are also under tension and at the narrowest section. Where the hole is located, we have

$$A = (20 \text{ mm})(40 \text{ mm} - 25 \text{ mm}) = 300 \times 10^{-6} \text{ m}^2$$

(continued)

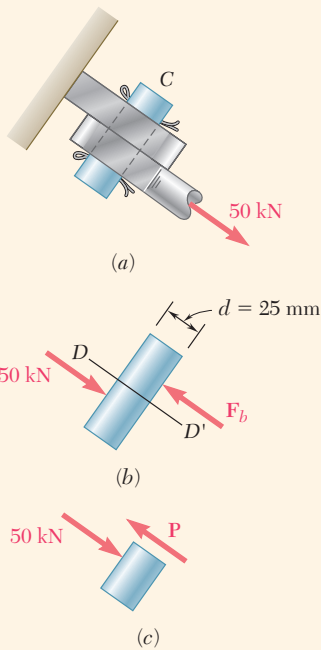


Fig. 1.23 Diagrams of the single shear pin at C.

The corresponding average value of the stress is

$$(\sigma_{BC})_{\text{end}} = \frac{P}{A} = \frac{50 \times 10^3 \text{ N}}{300 \times 10^{-6} \text{ m}^2} = 167.0 \text{ MPa}$$

Note that this is an *average value*. Close to the hole the stress will actually reach a much larger value, as you will see in Sec. 2.11. Under an increasing load, the rod will fail near one of the holes rather than in its cylindrical portion; its design could be improved by increasing the width or the thickness of the flat ends of the rod.

Recall from Sec. 1.1A that the force in boom *AB* is $F_{AB} = 40 \text{ kN}$ (compression). Since the area of the boom's rectangular cross section is $A = 30 \text{ mm} \times 50 \text{ mm} = 1.5 \times 10^{-3} \text{ m}^2$, the average value of the normal stress in the main part of the rod between pins *A* and *B* is

$$\sigma_{AB} = -\frac{40 \times 10^3 \text{ N}}{1.5 \times 10^{-3} \text{ m}^2} = -26.7 \times 10^6 \text{ Pa} = -26.7 \text{ MPa}$$

Note that the sections of minimum area at *A* and *B* are not under stress, since the boom is in compression, and therefore *pushes* on the pins (instead of *pulling* on the pins as rod *BC* does).

Shearing Stress in Various Connections. To determine the shearing stress in a connection such as a bolt, pin, or rivet, you first show the forces exerted by the various members it connects. In the case of pin *C* (Fig. 1.23*a*), draw Fig. 1.23*b* to show the 50-kN force exerted by member *BC* on the pin, and the equal and opposite force exerted by the bracket. Drawing the diagram of the portion of the pin located below the plane *DD'* where shearing stresses occur (Fig. 1.23*c*), notice that the shear in that plane is $P = 50 \text{ kN}$. Since the cross-sectional area of the pin is

$$A = \pi r^2 = \pi \left(\frac{25 \text{ mm}}{2} \right)^2 = \pi (12.5 \times 10^{-3} \text{ m})^2 = 491 \times 10^{-6} \text{ m}^2$$

the average value of the shearing stress in the pin at *C* is

$$\tau_{\text{ave}} = \frac{P}{A} = \frac{50 \times 10^3 \text{ N}}{491 \times 10^{-6} \text{ m}^2} = 102.0 \text{ MPa}$$

Note that pin *A* (Fig. 1.24) is in double shear. Drawing the free-body diagrams of the pin and the portion of pin located between the planes *DD'* and *EE'* where shearing stresses occur, we see that $P = 20 \text{ kN}$ and

$$\tau_{\text{ave}} = \frac{P}{A} = \frac{20 \text{ kN}}{491 \times 10^{-6} \text{ m}^2} = 40.7 \text{ MPa}$$

Pin *B* (Fig. 1.25*a*) can be divided into five portions that are acted upon by forces exerted by the boom, rod, and bracket. Portions *DE* (Fig. 1.25*b*) and *DG* (Fig. 1.25*c*) show that the shear in section *E* is $P_E = 15 \text{ kN}$ and the shear in section *G* is $P_G = 25 \text{ kN}$. Since the loading

(continued)

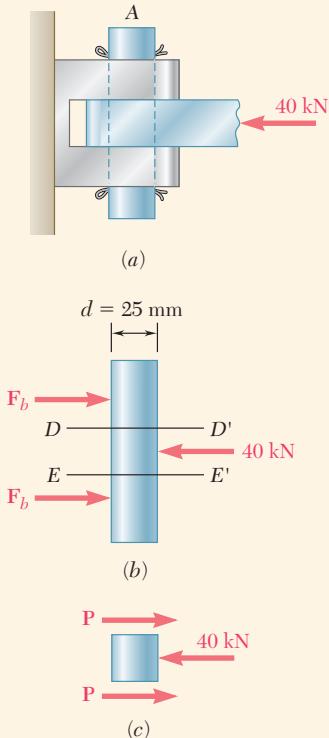
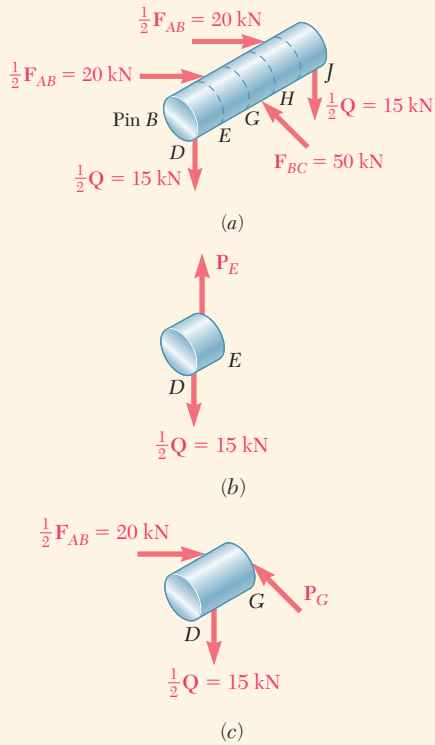


Fig. 1.24 Free-body diagrams of the double shear pin at A.



of the pin is symmetric, the maximum value of the shear in pin B is $P_G = 25$ kN, and the largest the shearing stresses occur in sections G and H , where

$$\tau_{\text{ave}} = \frac{P_G}{A} = \frac{25 \text{ kN}}{491 \times 10^{-6} \text{ m}^2} = 50.9 \text{ MPa}$$

Bearing Stresses. Use Eq. (1.11) to determine the nominal bearing stress at A in member AB . From Fig. 1.22, $t = 30$ mm and $d = 25$ mm. Recalling that $P = F_{AB} = 40$ kN, we have

$$\sigma_b = \frac{P}{td} = \frac{40 \text{ kN}}{(30 \text{ mm})(25 \text{ mm})} = 53.3 \text{ MPa}$$

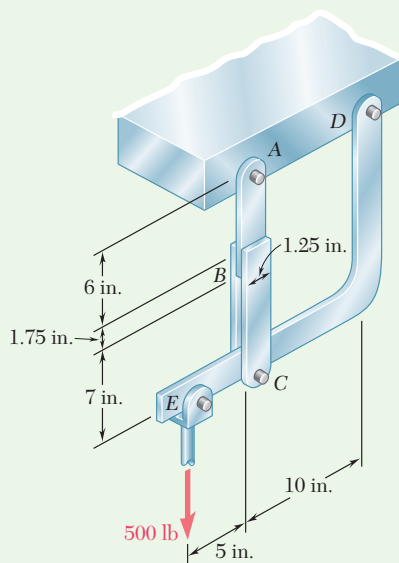
To obtain the bearing stress in the bracket at A , use $t = 2(25 \text{ mm}) = 50$ mm and $d = 25$ mm:

$$\sigma_b = \frac{P}{td} = \frac{40 \text{ kN}}{(50 \text{ mm})(25 \text{ mm})} = 32.0 \text{ MPa}$$

The bearing stresses at B in member AB , at B and C in member BC , and in the bracket at C are found in a similar way.

Fig. 1.25 Free-body diagrams for various sections at pin B .

Sample Problem 1.1



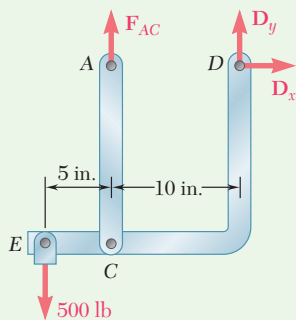
In the hanger shown, the upper portion of link ABC is $\frac{3}{8}$ in. thick and the lower portions are each $\frac{1}{4}$ in. thick. Epoxy resin is used to bond the upper and lower portions together at B . The pin at A has a $\frac{3}{8}$ -in. diameter, while a $\frac{1}{4}$ -in.-diameter pin is used at C . Determine (a) the shearing stress in pin A , (b) the shearing stress in pin C , (c) the largest normal stress in link ABC , (d) the average shearing stress on the bonded surfaces at B , and (e) the bearing stress in the link at C .

STRATEGY: Consider the free body of the hanger to determine the internal force for member AB and then proceed to determine the shearing and bearing forces applicable to the pins. These forces can then be used to determine the stresses.

MODELING: Draw the free-body diagram of the hanger to determine the support reactions (Fig. 1). Then draw the diagrams of the various components of interest showing the forces needed to determine the desired stresses (Figs. 2-6).

ANALYSIS:

Free Body: Entire Hanger. Since the link ABC is a two-force member (Fig. 1), the reaction at A is vertical; the reaction at D is represented by its components D_x and D_y . Thus,



$$+\uparrow \Sigma M_D = 0: \quad (500 \text{ lb})(15 \text{ in.}) - F_{AC}(10 \text{ in.}) = 0$$

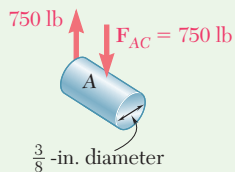
$$F_{AC} = +750 \text{ lb} \quad F_{AC} = 750 \text{ lb} \quad \text{tension}$$

a. Shearing Stress in Pin A. Since this $\frac{3}{8}$ -in.-diameter pin is in single shear (Fig. 2), write

$$\tau_A = \frac{F_{AC}}{A} = \frac{750 \text{ lb}}{\frac{1}{4}\pi(0.375 \text{ in.})^2} \quad \tau_A = 6790 \text{ psi} \quad \blacktriangleleft$$

Fig. 1 Free-body diagram of hanger.

b. Shearing Stress in Pin C. Since this $\frac{1}{4}$ -in.-diameter pin is in double shear (Fig. 3), write



$$\tau_C = \frac{\frac{1}{2}F_{AC}}{A} = \frac{375 \text{ lb}}{\frac{1}{4}\pi(0.25 \text{ in.})^2} \quad \tau_C = 7640 \text{ psi} \quad \blacktriangleleft$$

Fig. 2 Pin A.

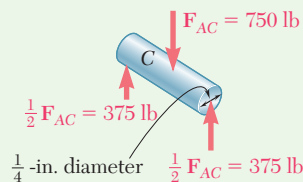


Fig. 3 Pin C.

(continued)

c. Largest Normal Stress in Link ABC. The largest stress is found where the area is smallest; this occurs at the cross section at A (Fig. 4) where the $\frac{3}{8}$ -in. hole is located. We have

$$\sigma_A = \frac{F_{AC}}{A_{\text{net}}} = \frac{750 \text{ lb}}{(\frac{3}{8} \text{ in.})(1.25 \text{ in.} - 0.375 \text{ in.})} = \frac{750 \text{ lb}}{0.328 \text{ in}^2} \quad \sigma_A = 2290 \text{ psi} \quad \blacktriangleleft$$

d. Average Shearing Stress in B. We note that bonding exists on both sides of the upper portion of the link (Fig. 5) and that the shear force on each side is $F_1 = (750 \text{ lb})/2 = 375 \text{ lb}$. The average shearing stress on each surface is

$$\tau_B = \frac{F_1}{A} = \frac{375 \text{ lb}}{(1.25 \text{ in.})(1.75 \text{ in.})} \quad \tau_B = 171.4 \text{ psi} \quad \blacktriangleleft$$

e. Bearing Stress in Link at C. For each portion of the link (Fig. 6), $F_1 = 375 \text{ lb}$, and the nominal bearing area is $(0.25 \text{ in.})(0.25 \text{ in.}) = 0.0625 \text{ in}^2$.

$$\sigma_b = \frac{F_1}{A} = \frac{375 \text{ lb}}{0.0625 \text{ in}^2} \quad \sigma_b = 6000 \text{ psi} \quad \blacktriangleleft$$

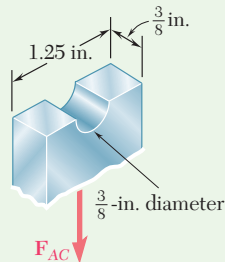


Fig. 4 Link ABC section at A.

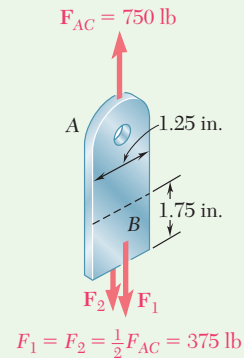


Fig. 5 Element AB.

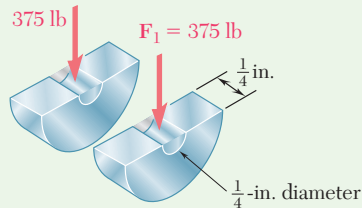


Fig. 6 Link ABC section at C.

REFLECT and THINK: This sample problem demonstrates the need to draw free-body diagrams of the separate components, carefully considering the behavior in each one. As an example, based on visual inspection of the hanger it is apparent that member AC should be in tension for the given load, and the analysis confirms this. Had a compression result been obtained instead, a thorough reexamination of the analysis would have been required.

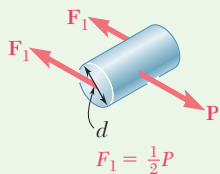
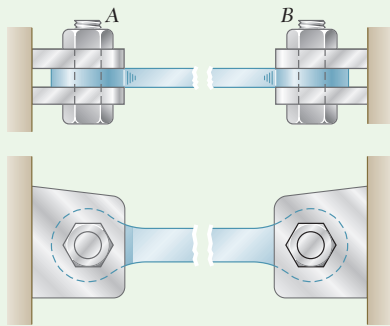


Fig. 1 Sectioned bolt.

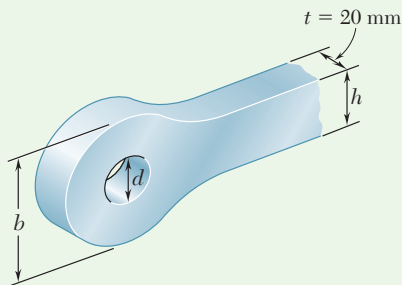


Fig. 2 Tie bar geometry.

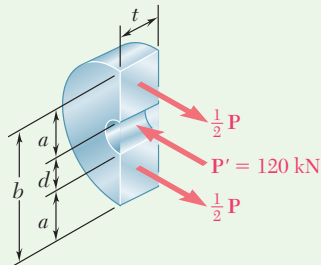


Fig. 3 End section of tie bar.

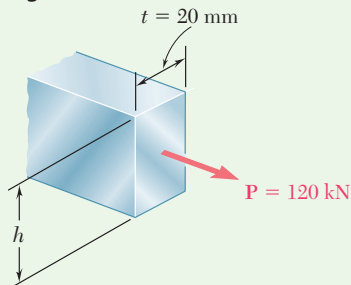


Fig. 4 Mid-body section of tie bar.

Sample Problem 1.2

The steel tie bar shown is to be designed to carry a tension force of magnitude $P = 120$ kN when bolted between double brackets at A and B. The bar will be fabricated from 20-mm-thick plate stock. For the grade of steel to be used, the maximum allowable stresses are $\sigma = 175$ MPa, $\tau = 100$ MPa, and $\sigma_b = 350$ MPa. Design the tie bar by determining the required values of (a) the diameter d of the bolt, (b) the dimension b at each end of the bar, and (c) the dimension h of the bar.

STRATEGY: Use free-body diagrams to determine the forces needed to obtain the stresses in terms of the design tension force. Setting these stresses equal to the allowable stresses provides for the determination of the required dimensions.

MODELING and ANALYSIS:

a. Diameter of the Bolt. Since the bolt is in double shear (Fig. 1), $F_1 = \frac{1}{2}P = 60$ kN.

$$\tau = \frac{F_1}{A} = \frac{60 \text{ kN}}{\frac{1}{4}\pi d^2} \quad 100 \text{ MPa} = \frac{60 \text{ kN}}{\frac{1}{4}\pi d^2} \quad d = 27.6 \text{ mm}$$

Use $d = 28$ mm ◀

At this point, check the bearing stress between the 20-mm-thick plate (Fig. 2) and the 28-mm-diameter bolt.

$$\sigma_b = \frac{P}{td} = \frac{120 \text{ kN}}{(0.020 \text{ m})(0.028 \text{ m})} = 214 \text{ MPa} < 350 \text{ MPa} \quad \text{OK}$$

b. Dimension b at Each End of the Bar. We consider one of the end portions of the bar in Fig. 3. Recalling that the thickness of the steel plate is $t = 20$ mm and that the average tensile stress must not exceed 175 MPa, write

$$\sigma = \frac{\frac{1}{2}P}{ta} \quad 175 \text{ MPa} = \frac{60 \text{ kN}}{(0.02 \text{ m})a} \quad a = 17.14 \text{ mm}$$

$$b = d + 2a = 28 \text{ mm} + 2(17.14 \text{ mm}) \quad b = 62.3 \text{ mm} \quad \blacktriangleleft$$

c. Dimension h of the Bar. We consider a section in the central portion of the bar (Fig. 4). Recalling that the thickness of the steel plate is $t = 20$ mm, we have

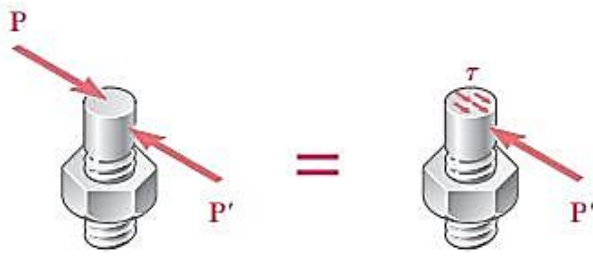
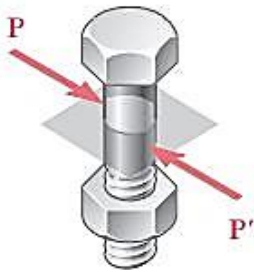
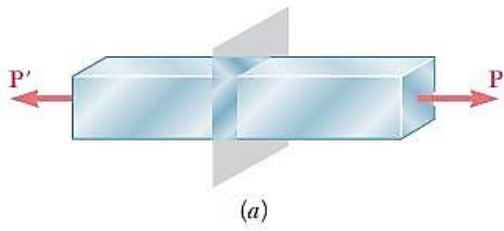
$$\sigma = \frac{P}{th} \quad 175 \text{ MPa} = \frac{120 \text{ kN}}{(0.020 \text{ m})h} \quad h = 34.3 \text{ mm}$$

Use $h = 35$ mm ◀

REFLECT and THINK: We sized d based on bolt shear, and then checked bearing on the tie bar. Had the maximum allowable bearing stress been exceeded, we would have had to recalculate d based on the bearing criterion.

1.3 تنش در یک عضو در ب از جسم تحت بارگذاری محوری

stress on an oblique plane under axial loading



در بخش میانی شکل داده شد که نیروی محوری دارد شده
بر یک عضو در نیروی، سبب ایجاد تنش می فریال در آن
عضو می شود.

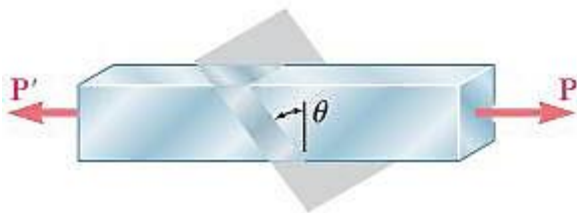
در حالتی که نیروی عرضی دارد برین سبب ایجاد
تنش برش در اتصالات می شود.

آنچه که بیان شد نشان می دهد که بین نیروی محوری و تنش می فریال، و بین نیروی عرضی و تنش برش
رابطه ای وجود دارد چرا که به عبارتی نوع تنش، صفتی می بوده است که بر محور عضو یا اتصال عمود است.
اما در ادامه این بخش نشان داده خواهد شد که نیروی محوری و نیروی عرضی در صفتی که عمود بر محور عضو نیستند
می توانند همزمان تنش می فریال در برین ایجاد نمایند.



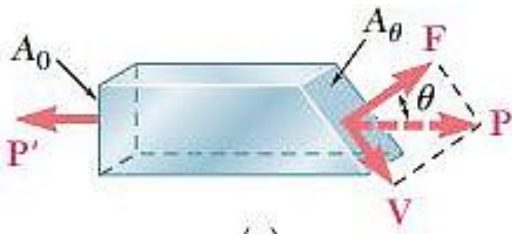
بدین منظور، عضو در نیروی نشان داده شده در شکل را
در نظر بگیرید.

(ا) صفتی را در نظر بگیرید که با جهت عمود بر محور عضو
زاویه θ ایجاد نماید.





(2) بر اساس شرایط تعادل، نیرو در عنصر مورب نیز باید P باشد.



(3) نیروی P نه نیروی است که بر صفحه مورب عمود باشند و نه نیروی F که در سطح بر صفحه مورب باشند، بنابراین آن را به دو مولفه که عمود و موازی بر صفحه مورب باشند تجزیم می‌کنیم.

$$F = P \cdot \cos(\theta) \quad V = P \sin(\theta) \quad \text{I}$$

$$\begin{cases} \beta = \frac{F}{A_\theta} \\ \gamma = \frac{V}{A_\theta} \end{cases} \quad \text{II}$$

(4) اکنون تنش‌های فشاری و برشی با تقسیم نیروی F, V بر مساحت صفحه مورب (A_theta) بدست می‌آوریم:

که A_0 عبارت است از: $A_0 = A_\theta \cos(\theta) \Rightarrow A_\theta = \frac{A_0}{\cos(\theta)} \quad \text{III}$

$$\beta = \frac{F}{A_\theta} = \frac{P \cos(\theta)}{A_0 / \cos(\theta)}$$

(5) اکنون با جایگذاری روابط I, II, III در رابطه II تنش‌های برشی و برشی در صفحه مورب بدست می‌آیند:

$$\Rightarrow \beta = \frac{P}{A_0} \cos^2(\theta) \quad \text{IV}$$

$$\gamma = \frac{V}{A_\theta} = \frac{P \sin(\theta)}{A_0 / \cos(\theta)} = \frac{P}{A_0} \cos(\theta) \sin(\theta)$$



$$= \frac{P}{A_0} \frac{2 \cos(\theta) \sin(\theta)}{2} = \frac{P}{2A_0} \sin(2\theta) = \gamma \quad \text{V}$$

اگر در روابط IV و V بتوان تنش‌های برشی و برشی در هر صفحه دلخواه که دارای زاویه theta با صفحه عمود بر محور عضو می‌باشد را تعیین نمود.

هم چنین می‌توان به این سوال پاسخ داد که بیشترین مقدار تنش برشی و برشی به ازای چه مقدار زاویه theta اتفاق می‌افتد؟

بین منظور داریم :

• مناسب عمل مقدار بالکم تنش نرمال

ی دانیم $-1 \leq \cos(\theta) \leq +1 \Rightarrow 0 \leq \cos^2(\theta) \leq +1 \Rightarrow \text{Max}(\cos^2(\theta)) = 1 \Rightarrow \theta_{\text{max}} = 0$

$\Rightarrow \begin{cases} \sigma_{\text{max}} = \frac{P}{A_0} \cos^2(0) = \frac{P}{A_0} \quad \text{ⓈVI} \\ \tau' = \frac{P}{2A_0} \sin(2 \times 0) = 0 \end{cases}$

رابطه Ⅵ نشان می دهد که بهترین تنش نرمال در عضوی که تحت نیروی محوری قرار دارد در صفحه عمود بر محور عضو ایجاد می شود. از طرفی، در این صفحه، تنش برش صفر می باشد.

• مناسب عمل مقدار بالکم تنش برش

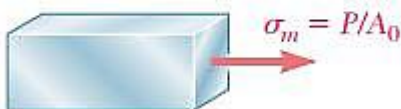
ی دانیم $-1 \leq \sin(2\theta) \leq +1 \Rightarrow \text{Max}(\sin(2\theta)) = +1 \Rightarrow 2\theta_{\text{max}} = \frac{\pi}{2} \Rightarrow \theta_{\text{max}} = \frac{\pi}{4}$

$\Rightarrow \begin{cases} \tau_{\text{max}} = \frac{P}{2A_0} \sin\left(2 \times \frac{\pi}{4}\right) = \frac{P}{2A_0} \quad \text{ⓈVII} \\ \sigma' = \frac{P}{A_0} \cos^2(45) = \frac{P}{2A_0} \end{cases}$

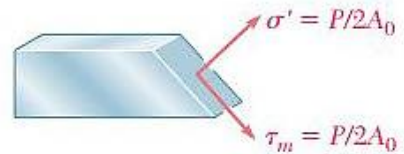
رابطه Ⅶ نشان می دهد که بهترین تنش برش در عضوی که تحت نیروی محوری قرار دارد در صفحه ای ایجاد می شود که با صفحه عمود بر محور عضو، زاویه 45° داشته باشد. از طرفی در این صفحه، تنش نرمال ظاهر می شود که مقدار آن برابر با کم تنش برش می باشد.



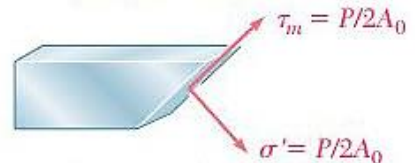
(a) Axial loading



(b) Stresses for $\theta = 0$



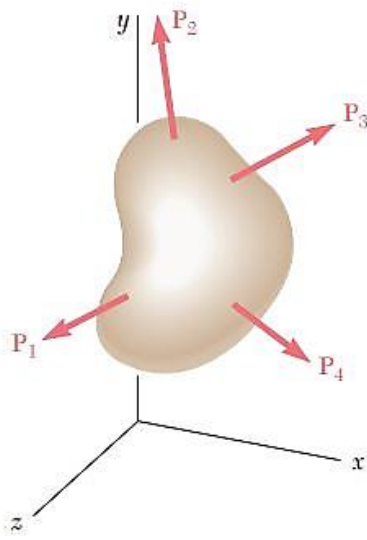
(c) Stresses for $\theta = 45^\circ$



(d) Stresses for $\theta = -45^\circ$

1.4 تنش تحت شرایط بارگذاری کلی؛ مولفه های تنش

stress under general loading conditions; components of stress

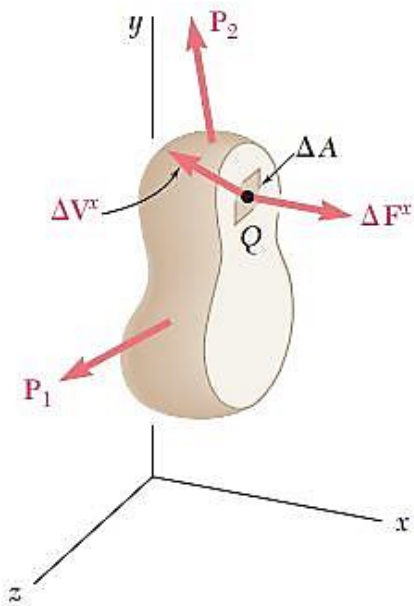


آنچه که ما اکنون موضوع داده شد محدود عضو می بودیم
تحت بارگذاری محوری یا عرضی بودند. اما در واقعیت،
بیشتر عضو های سازده یا ماشین ها، تحت شرایط بارگذاری

متوزع می باشند (شکل)

برای تعیین تنش در یک عنصر شرایط بارگذاری، صورت
زیر عمل می کنیم.

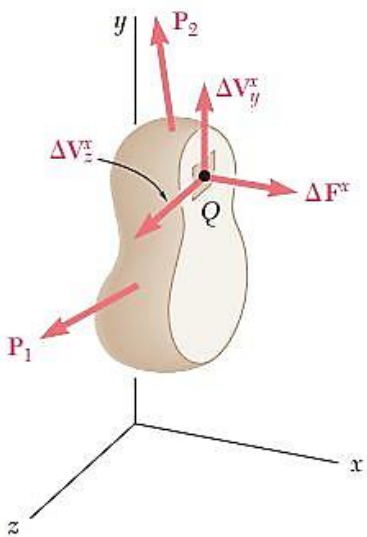
به عنوان مثال برای تعیین تنش در نقطه Q و ناحیه برصغری
عمود بر محور x داریم:



1) جنبه ای عمود بر محور x از عضو عبور می دهیم و برآنند
نیزدهی نرتال و عاقل را محاسبه می کنیم $(\Delta V_x, \Delta F_x)$
(شکل)

2) برآنند نیزدهی ماس برصغره مورد نظر را در راستای
y و z تجزیه می کنیم $(\Delta V_y, \Delta V_z)$
(شکل)

3) مولفه های تنش را در نقطه Q با استفاده از روابط زیر
به دست می آوریم:



$$\left\{ \begin{aligned} \sigma_x &= \lim_{\Delta A \rightarrow 0} \frac{\Delta F_x}{\Delta A} \\ \tau_{xy} &= \lim_{\Delta A \rightarrow 0} \frac{\Delta V_y}{\Delta A} \\ \tau_{xz} &= \lim_{\Delta A \rightarrow 0} \frac{\Delta V_z}{\Delta A} \end{aligned} \right. \quad (\text{شکل})$$

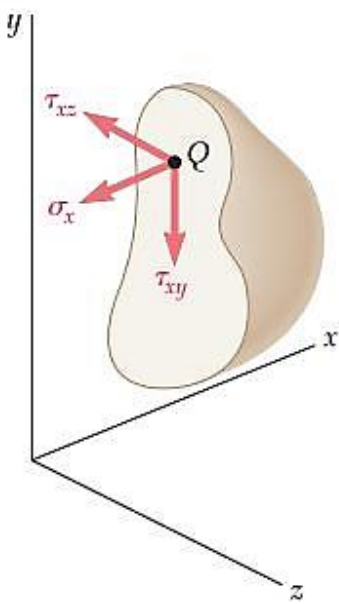
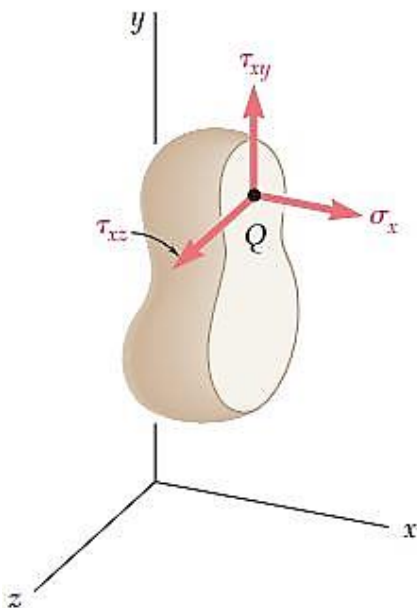
درجه مولفه تنش در صفحه‌ای است که عمود بر محور x است
 و در جهت محور x می‌باشند.

درجه xy مولفه تنش در صفحه‌ای است که عمود بر محور x است
 و در جهت محور y می‌باشند.

درجه xz مولفه تنش در صفحه‌ای است که عمود بر محور x است
 و در جهت محور z می‌باشند.

(4) مقادیر آنچه انجام شد برای صفحه دیگری که عمود بر محور
 مستقیم y است انجام می‌شود و مولفه‌های تنش عبارت
 می‌آید. (شکل ۱)

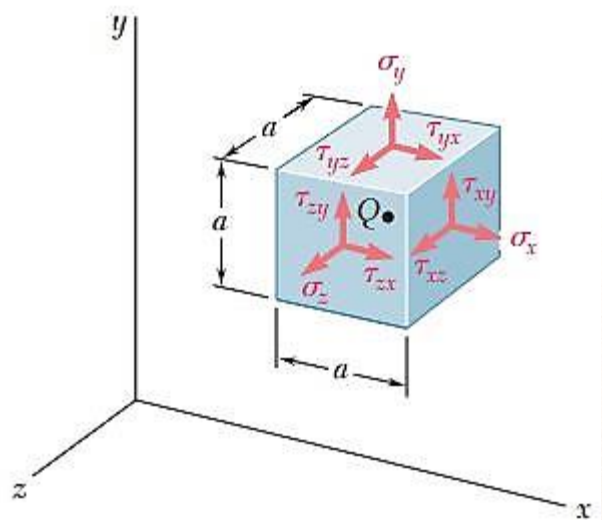
اگر اندازه‌ها نیز برای y و z برای صفحه‌ای که عمود بر
 محور y و z ؛ و محور x و z - می‌باشند
 انجام شود مولفه‌های تنش مانند آنچه در شکل زیر نشان
 داده شده است عبارت می‌آید:



شکل ۱ - نشان می‌دهد که برای یک عضو تحت
 بارگذاری کلی، ماتریس 9 مولفه‌های تنش در جسم
 ایجاد می‌شود. برای نمایش مولفه‌های تنش در یک
 عضو از ماتریس تنش استفاده می‌شود:

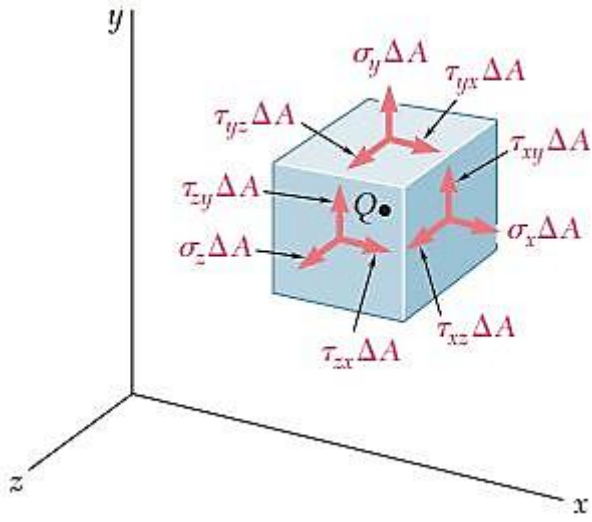
$$[\sigma] = \begin{bmatrix} \sigma_{xx} & \tau_{xy} & \tau_{xz} \\ \tau_{yx} & \sigma_{yy} & \tau_{yz} \\ \tau_{zx} & \tau_{zy} & \sigma_{zz} \end{bmatrix}$$

$$= \begin{bmatrix} \sigma_x & \tau_{xy} & \tau_{xz} \\ \tau_{yx} & \sigma_y & \tau_{yz} \\ \tau_{zx} & \tau_{zy} & \sigma_z \end{bmatrix}$$



یک تکه در مورد موله تنش برشی

در علم تعادست مصالح، عضوهای تحت بررسی باید در تعادل استاتیکی باشند. بنابراین برای آنها از عضو که تحت تنش کله است برانید بزرگ طبق شکل در برده باشند.



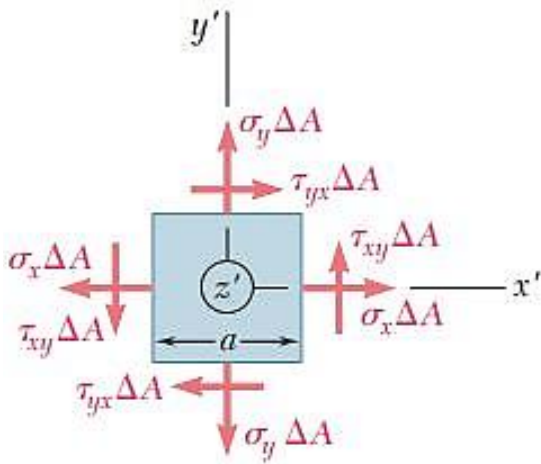
$$\begin{cases} \sum F_x = 0 & \sum F_y = 0 & \sum F_z = 0 & \textcircled{I} \\ \sum M_{x'} = 0 & \sum M_{y'} = 0 & \sum M_{z'} = 0 & \textcircled{II} \end{cases}$$

که α ، β و γ محورهای دور Q بوده که هم موازات محورهای x, y, z باشد روابط I صادر می باشند و نیاز به بررسی ندارند. اما در مورد روابط II نیاز به بررسی بیشتر می باشد

برای درک بهتر شرایط تعادل در المان، تصویر المان را از جهت محور z' در نظر بگیرید. برای این شرایط داریم:

$$\sum M_{z'} = 0 \Rightarrow (\tau_{xy} \Delta A) a - (\tau_{yx} \Delta A) a = 0$$

$$\Rightarrow \tau_{xy} = \tau_{yx} \quad \textcircled{III}$$



رابطه III بیان می کند که موله τ_{xy} تنش برشی بر روی صفحه عمود بر محور z برابر با موله τ_{yx} تنش برشی بر روی صفحه عمود بر محور y می باشد.

به طریقی مشابه، از روابط $\sum M_{x'} = 0$ و $\sum M_{y'} = 0$ خواصم داشت:

$$\begin{cases} \tau_{yz} = \tau_{zy} \\ \tau_{zx} = \tau_{xz} \end{cases} \quad \textcircled{IV}$$

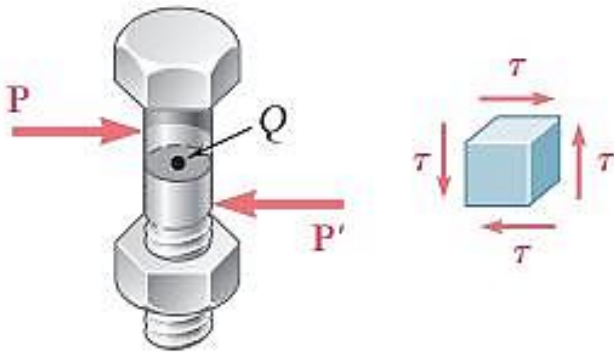
رابطه III, IV نشان می دهند که

(1) برای تنش تنش در نقطه Q از عضو تنها 6 موله تنش نیاز می باشد که عبارتند از $\sigma_x, \sigma_y, \sigma_z, \tau_{xy}, \tau_{yx}, \tau_{yz}$.

با به صورت ماتریس داریم:

$$[\sigma] = \begin{bmatrix} \sigma_x & \tau_{xy} & \tau_{xz} \\ \tau_{xy} & \sigma_y & \tau_{yz} \\ \tau_{xz} & \tau_{yz} & \sigma_z \end{bmatrix}$$

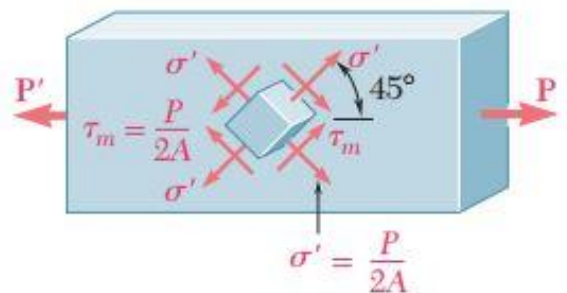
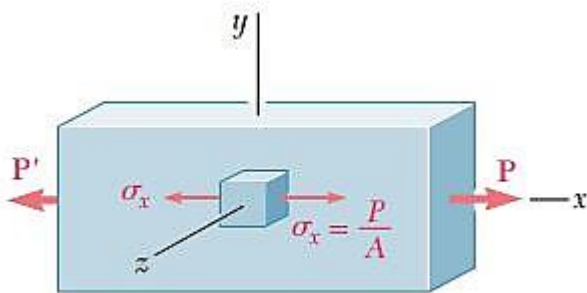
2) در یک نقطه مشخص تنش ~~که~~ تنش می تواند تنها در یک صفحه ایجاد شود بلکه باید مولفه تنش برش را نیز در نظر بگیرد. برای بررسی بر روی صفحه دایره ای که عمود بر صفحه اول می باشد ایجاد شود. به عنوان مثال، همان دلخواه از یک رانگ تحت نیروی عرضی است در نظر بگیرد. برای اینکه این حالت تعادل باشد باید تنش های برش در صفحات عمود بر هم ظاهر شود.



نکته دوم.

باید به این موضوع دست داشت که یک بارگذاری می تواند شرایط تنش متساوی در جسم ایجاد کند به عنوان مثال یک عضو که تحت نیروی محوری است را در نظر بگیرد. برای این که از عضو که سطح آن به موازات یا عمود بر جهت نیرو است بر سطح عمود بر راستای نیرو، فقط تنش نرمال ایجاد می شود در سطح دایره تنش ایجاد نمی شود. (شکل)

اما برای همین عضو، اگر را در نظر بگیرد که صفحات آن با راستای نیرو زاویه 45° داشته باشد. بنابراین داده شد که در یک چنین صفحه ای، هم تنش نرمال وجود می شود که با یکدیگر برابرند (شکل) بنابراین تقسیم گری در مورد اینکه وضعیت تنش در یک عضو تحت بارگذاری مشخص چگونه است بستگی به صفحات دارد که برای تحلیل انتخاب شده است.



1.5A تعیین مقاومت نهایی یک ماده

1.5A) Determination of the ultimate strength of a material

یک مسئله بسیار مهم که ملاحظه می‌شود این است که یک ماده، تحت یک بار مشخص، چه رفتاری خواهد داشت؟
 برای پاسخ به این سوال، در آزمایشگاه، تعدادی آزمایش مشخص بر روی نمونه‌های گهواره شده از ماده مورد نظر انجام می‌گیرد. برای مثال، برای شناخت رفتار نمونه‌های از جنس فولاد که تحت بارگذاری محوری قرار می‌گیرند، تعدادی نمونه آزمایشگاهی تهیه می‌شود. سپس این نمونه‌ها در یک دستگاه آزمایشگاهی قرار می‌گیرند. به تدریج نیروی وارد بر نمونه افزایش می‌یابد و در بازه‌های زمانی مختلف، تغییرات در ابعاد مانند طول و قطر ثبت می‌شود. همین بهترین نیروی که می‌توان به نمونه اعمال کرد که تحت آن، نمونه بشکند یا تغییر شکل بزرگ در آن ایجاد شود، ثبت می‌شود.

$$\sigma_U = \frac{P_U}{A} \quad \text{I}$$

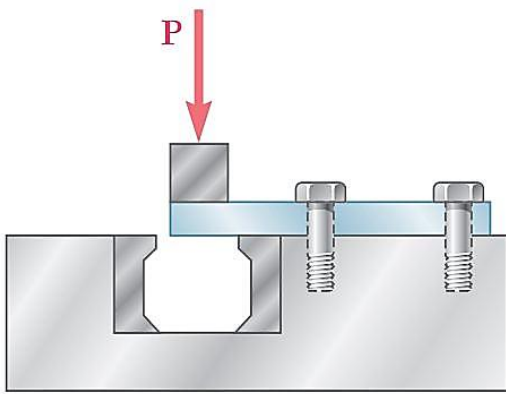
این بزرگترین نیروی ثبت شده را نیروی نهایی می‌نامند و با P_U نمایش می‌دهند. از عرضی با تقسیم P_U بر سطح مقطع اولیه جسم (A) ، مقدار تنش نرمال نهایی به دست می‌آید که به آن مقاومت نهایی هم گفته می‌شود.

به طریقی مشابه، برای تعیین تنش برش نهایی یا مقاومت نهایی برش نیز همین روش وجود دارد. در سومین روش، همیشه یک تیر با مقطع دایره‌ای می‌باشند که در فصل ۳ توضیح داده خواهد شد. یک روش دیگر که دست کم تری نسبت به روش قبلی دارد این است که یک نمونه با مقطع مستطیلی یا دایره‌ای را در دستگاه آزمایش قرار می‌دهند و به تدریج نیروی کشش می‌یابند تا جایی که P_U به دست می‌آید.

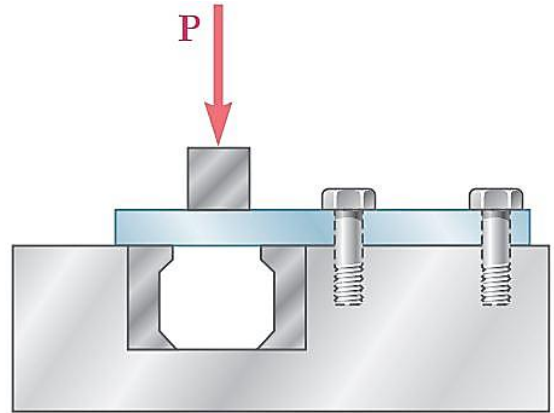
$$\tau_U = \frac{P_U}{A} \quad \text{II}$$

در این حالت با تقسیم P_U بر سطح مقطع جسم، تنش برش نهایی یا مقاومت نهایی برش به دست می‌آید.

اگر نمونه بصورت شکل 1 در دستگاه آزمایش قرار بگیرد سمات A در رابطه II، اما سمات سطح مقطع نمونه می باشد و اگر نمونه بصورت شکل 2 در دستگاه آزمایش قرار بگیرد سمات A در رابطه II، در برابر سمات سطح مقطع نمونه می باشد.



(شکل 1)



(شکل 2)

1-5B) بار مجاز و تنش مجاز: ضریب اطمینان

1.5B) Allowable load and allowable stress: Factor of safety

ماکزیمم بار می که یک عضو سازه یا یک عضو ماشین تحت شرایط نرمال می تواند تحمل کند به طور قابل ملاحظه ای کوچکتر از بارهای است. به این بار کوچکتر، بار مجاز یا حتی بار طراحی یا بار کاری نیز گفته می شود. بنابراین وقتی که بار مجاز بر عضو سازه یا ماشین اعمال می شود کمتر از ظرفیت بارهای سازه استفاده شده است. تنش یا تاند از ظرفیت بارهای سازه، به نوعی برابر اطمینان از عملکرد صحیح آن ذخیره می شود.

$$F.S. = \frac{\text{بارهای}}{\text{بار مجاز}} \quad \text{I}$$

به نسبت بارهای بر بار مجاز، ضریب اطمینان گفته می شود که عبارت است از:

$$F.S. = \frac{\text{تنش های}}{\text{تنش مجاز}} \quad \text{II}$$

تعریف ساده ای از ضریب اطمینان برای تنش وجود دارد که عبارت است از:

این دو تعریف (در رابطه I و II) اگر رابطه بین بار و تنش یک رابطه خطی باشد، همان خواهند بود.

1.5c) Factor of safety selection

انتخاب ضریب اطمینان یکی از وظایف اصلی مهندسین می باشد. اگر ضریب اطمینان کوچک انتخاب شود احتمال شکست بصورت غیر قابل قبولی بالا خواهد بود. از طرفی اگر ضریب اطمینان بزرگ انتخاب شود یک طراحی غیر اقتصادی یا غیر عملی خواهد داشت. انتخاب ضریب اطمینان برای استفاده در یک طراحی، نیاز به داوران مهندسی دارد که ملاحظات زیادی را در بر می گیرد. به عنوان مثال:

1) تغییراتی که ممکن است در خواص یک عضو ایجاد شود. به عنوان مثال تغییر در ساختار، تبادلت و حتی در ایجاد عضو، ناشی از تراکم ساخت. ذخیره سازی، نقل و انتقال.

2) پدیده خستگی (Fatigue phenomenon): در اثر این پدیده، تنش‌های محلی عضو به شدت کاهش می یابد.

3) تبادلت در نوع بارها می که بر اساس آنها طراحی انجام گرفته است یا بارهایی که در حین کار بر عضو وارد می شوند.

4) نوع خرابی یا از کار آمدگی عضو. به عنوان مثال، عضوهای ساخته شده از مواد ترد، بصورت ناگهانی مخرب می شوند اما مخرب مواد نرم، بصورت تدریجی و همراه با پدیده تسلیم (yielding) است. هم چنین شکست ناشی از کاهش یا بیاباری که بستگی به نرمی یا تردی ماده ندارد و در هر صورت، بصورت ناگهانی اتفاق می افتد.

5) عکس العمل عدم قطعیت ناشی از روش‌های تحلیل. هر روش تحلیلی، همراه با فرضیه‌های است و نمی تواند اینها را به جوانب طراحی را در نظر بگیرد.

6) عواملی که سبب می شوند در گذر زمان، کیفیت عضو پایین بیاید. به عنوان مثال، عواملی مانند خوردگی یا پوسیدگی به دلیل ضعف در نگهداری یا عوامل طبیعی ناخواسته.

7) در نظر گرفتن ضرایب اطمینان تبادلت در یک سازه. به عنوان مثال، عضوهای که اهمیت پایین تری دارند ضریب اطمینان کوچکتری برای آنها در نظر گرفته می شود نسبت به عضوهای که اهمیت بالاتری دارند.

علاوه بر موارد ذکر شده، یک عامل مهم دیگر در انتخاب ضرب اطمینان این است که آیا سازه یا ماشین
یا جان انسان سر و کار دارد یا خیر؟ به عنوان مثال اگر بالابری برابر جایابی انسان استناد می‌شود ضرب
اطمینان ستادتی خواهد داشت با بالابری که برای جایابی اسباب استناد می‌شود.
قابل ذکر است برابر بسیاری از کاربردها، ضرب اطمینان تعیین و گزارش شده است.

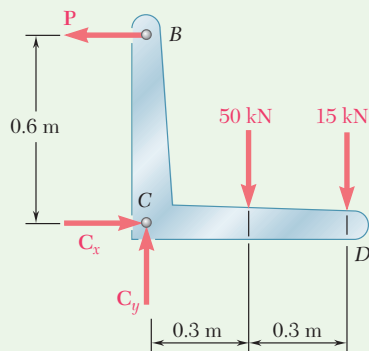
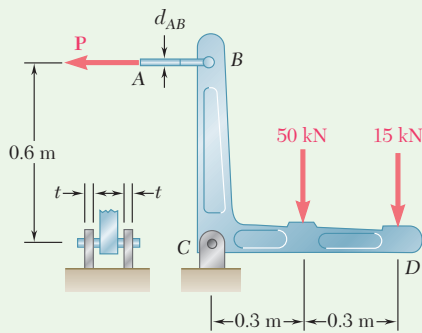


Fig. 1 Free-body diagram of bracket.

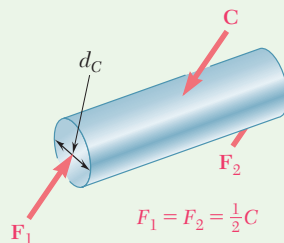


Fig. 2 Free-body diagram of pin at point C.

Sample Problem 1.3

Two loads are applied to the bracket BCD as shown. (a) Knowing that the control rod AB is to be made of a steel having an ultimate normal stress of 600 MPa, determine the diameter of the rod for which the factor of safety with respect to failure will be 3.3. (b) The pin at C is to be made of a steel having an ultimate shearing stress of 350 MPa. Determine the diameter of the pin C for which the factor of safety with respect to shear will also be 3.3. (c) Determine the required thickness of the bracket supports at C , knowing that the allowable bearing stress of the steel used is 300 MPa.

STRATEGY: Consider the free body of the bracket to determine the force P and the reaction at C . The resulting forces are then used with the allowable stresses, determined from the factor of safety, to obtain the required dimensions.

MODELING: Draw the free-body diagram of the hanger (Fig. 1), and the pin at C (Fig. 2).

ANALYSIS:

Free Body: Entire Bracket. Using Fig. 1, the reaction at C is represented by its components C_x and C_y .

$$+\uparrow \sum M_C = 0: P(0.6 \text{ m}) - (50 \text{ kN})(0.3 \text{ m}) - (15 \text{ kN})(0.6 \text{ m}) = 0 \quad P = 40 \text{ kN}$$

$$\sum F_x = 0: C_x = 40 \text{ kN}$$

$$\sum F_y = 0: C_y = 65 \text{ kN} \quad C = \sqrt{C_x^2 + C_y^2} = 76.3 \text{ kN}$$

a. Control Rod AB . Since the factor of safety is 3.3, the allowable stress is

$$\sigma_{\text{all}} = \frac{\sigma_U}{F.S.} = \frac{600 \text{ MPa}}{3.3} = 181.8 \text{ MPa}$$

For $P = 40 \text{ kN}$, the cross-sectional area required is

$$A_{\text{req}} = \frac{P}{\sigma_{\text{all}}} = \frac{40 \text{ kN}}{181.8 \text{ MPa}} = 220 \times 10^{-6} \text{ m}^2$$

$$A_{\text{req}} = \frac{\pi}{4} d_{AB}^2 = 220 \times 10^{-6} \text{ m}^2 \quad d_{ab} = \mathbf{16.74 \text{ mm}} \quad \blacktriangleleft$$

b. Shear in Pin C . For a factor of safety of 3.3, we have

$$\tau_{\text{all}} = \frac{\tau_U}{F.S.} = \frac{350 \text{ MPa}}{3.3} = 106.1 \text{ MPa}$$

(continued)

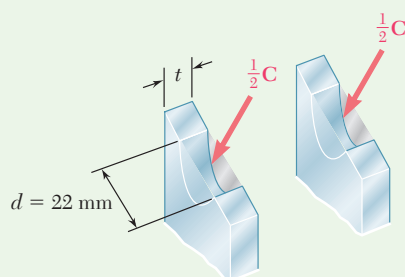


Fig. 3 Bearing loads at bracket support at point C.

As shown in Fig. 2 the pin is in double shear. We write

$$A_{\text{req}} = \frac{C/2}{\tau_{\text{all}}} = \frac{(76.3 \text{ kN})/2}{106.1 \text{ MPa}} = 360 \text{ mm}^2$$

$$A_{\text{req}} = \frac{\pi}{4} d_C^2 = 360 \text{ mm}^2 \quad d_C = 21.4 \text{ mm} \quad \text{Use: } d_C = 22 \text{ mm} \quad \blacktriangleleft$$

c. Bearing at C. Using $d = 22 \text{ mm}$, the nominal bearing area of each bracket is $22t$. From Fig. 3 the force carried by each bracket is $C/2$ and the allowable bearing stress is 300 MPa . We write

$$A_{\text{req}} = \frac{C/2}{\sigma_{\text{all}}} = \frac{(76.3 \text{ kN})/2}{300 \text{ MPa}} = 127.2 \text{ mm}^2$$

$$\text{Thus, } 22t = 127.2 \quad t = 5.78 \text{ mm} \quad \text{Use: } t = 6 \text{ mm} \quad \blacktriangleleft$$

REFLECT and THINK: It was appropriate to design the pin C first and then its bracket, as the pin design was geometrically dependent upon diameter only, while the bracket design involved both the pin diameter and bracket thickness.

Sample Problem 1.4

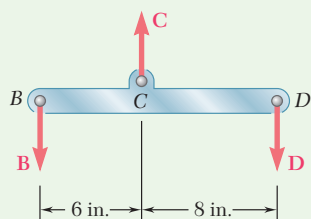
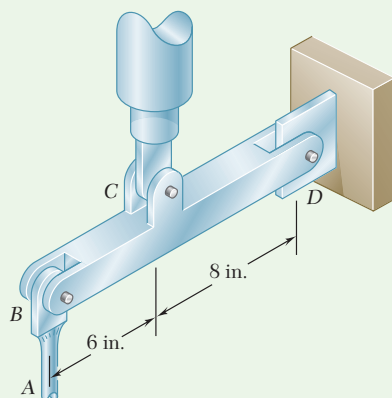


Fig. 1 Free-body diagram of beam BCD .

The rigid beam BCD is attached by bolts to a control rod at B , to a hydraulic cylinder at C , and to a fixed support at D . The diameters of the bolts used are: $d_B = d_D = \frac{3}{8} \text{ in.}$, $d_C = \frac{1}{2} \text{ in.}$ Each bolt acts in double shear and is made from a steel for which the ultimate shearing stress is $\tau_U = 40 \text{ ksi}$. The control rod AB has a diameter $d_A = \frac{7}{16} \text{ in.}$ and is made of a steel for which the ultimate tensile stress is $\sigma_U = 60 \text{ ksi}$. If the minimum factor of safety is to be 3.0 for the entire unit, determine the largest upward force that may be applied by the hydraulic cylinder at C .

STRATEGY: The factor of safety with respect to failure must be 3.0 or more in each of the three bolts and in the control rod. These four independent criteria need to be considered separately.

MODELING: Draw the free-body diagram of the bar (Fig. 1) and the bolts at B and C (Figs. 2 and 3). Determine the allowable value of the force C based on the required design criteria for each part.

ANALYSIS:

Free Body: Beam BCD . Using Fig. 1, first determine the force at C in terms of the force at B and in terms of the force at D .

$$+\uparrow \sum M_D = 0: \quad B(14 \text{ in.}) - C(8 \text{ in.}) = 0 \quad C = 1.750B \quad (1)$$

$$+\uparrow \sum M_B = 0: \quad -D(14 \text{ in.}) + C(6 \text{ in.}) = 0 \quad C = 2.33D \quad (2)$$

(continued)

Control Rod. For a factor of safety of 3.0

$$\sigma_{\text{all}} = \frac{\sigma_U}{F.S.} = \frac{60 \text{ ksi}}{3.0} = 20 \text{ ksi}$$

The allowable force in the control rod is

$$B = \sigma_{\text{all}}(A) = (20 \text{ ksi})\frac{1}{4}\pi\left(\frac{7}{16} \text{ in.}\right)^2 = 3.01 \text{ kips}$$

Using Eq. (1), the largest permitted value of C is

$$C = 1.750B = 1.750(3.01 \text{ kips}) \quad C = 5.27 \text{ kips} \quad \blacktriangleleft$$

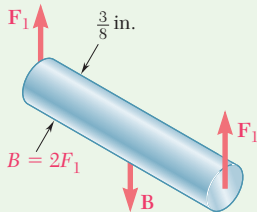


Fig. 2 Free-body diagram of pin at point B .

Bolt at B. $\tau_{\text{all}} = \tau_U/F.S. = (40 \text{ ksi})/3 = 13.33 \text{ ksi}$. Since the bolt is in double shear (Fig. 2), the allowable magnitude of the force B exerted on the bolt is

$$B = 2F_1 = 2(\tau_{\text{all}}A) = 2(13.33 \text{ ksi})\left(\frac{1}{4}\pi\right)\left(\frac{3}{8} \text{ in.}\right)^2 = 2.94 \text{ kips}$$

From Eq. (1), $C = 1.750B = 1.750(2.94 \text{ kips}) \quad C = 5.15 \text{ kips} \quad \blacktriangleleft$

Bolt at D. Since this bolt is the same as bolt B , the allowable force is $D = B = 2.94 \text{ kips}$. From Eq. (2)

$$C = 2.33D = 2.33(2.94 \text{ kips}) \quad C = 6.85 \text{ kips} \quad \blacktriangleleft$$

Bolt at C. We again have $\tau_{\text{all}} = 13.33 \text{ ksi}$. Using Fig. 3, we write

$$C = 2F_2 = 2(\tau_{\text{all}}A) = 2(13.33 \text{ ksi})\left(\frac{1}{4}\pi\right)\left(\frac{1}{2} \text{ in.}\right)^2 \quad C = 5.23 \text{ kips} \quad \blacktriangleleft$$

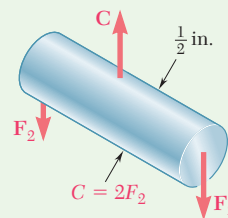


Fig. 3 Free-body diagram of pin at point C .

Summary. We have found separately four maximum allowable values of the force C . In order to satisfy all these criteria, choose the smallest value. $C = 5.15 \text{ kips} \quad \blacktriangleleft$

REFLECT and THINK: This example illustrates that all parts must satisfy the appropriate design criteria, and as a result, some parts have more capacity than needed.